

(株) 神戸製鋼所 正員 波田凱夫
 シ 中西宏
 シ ○岡田勝

1. 目的

構造物の設計一般においては実施設計に先立って、所定の荷重に対するその構造物の挙動を概略把握することは当然必要である。しかし、デュアルタイプ吊橋やキャットウォーク等のケーブル構造では、これを経験的に把握することはなかなか困難で設計の根柢となるものがなく試行錯誤的本設計法がとられている。そこで、本報はすでに発表した面外変形性状を把握する略算式および検証実験の概要にひきつづき鉛直方向の積載荷重および温度変化を受けるデュアルタイプ吊橋の挙動について容易にこれを推定し得る解析を述べるのである。また、構造特性、荷重、構造物の挙動相互の関係についても一般的に報告する。上記手法によって得られる理論値についてはモデル実験および大変形解析により検証を行なった。

2. 式の説明

デュアルタイプ吊橋一連について図1のごとくモデル化して扱う。また記号を次のように定義する。すなわち、 δ は変位、 H は張力、 W は荷重をあらわし、添字 C はメインロープ、S はストームロープ、 l は鉛直等分布荷重、温度変化載荷時を表わす。

鉛直等分布荷重および温度変化載荷時の構造系全体のつまり式は、次のようになる。

$$-H_C(Y_C + \delta_{CV}) = W_C + W_{Ch} + W_{hs} \quad (\text{メインロープ}) \quad (1)$$

$$-H_S(Y_S + \delta_{SV}) = -W_{hs} + W_S \quad (\text{ストームロープ}) \quad (2)$$

ここで、 W_h 、 W_{hs} はそれぞれハンガーロープ張力の常時および載荷時等分布鉛直方向成分を表わす。 δ_C は $-(W_h + W_{hs})/H_C$ 、 $\delta_S = (W_h - W_S)/H_S$ を表わす。

また、本報はケーブルの全長を $l(1 + \frac{8}{3}n^2)$ とし、載荷時の水平張力を次式であらわすものとする。

$$H_{Ch} = H_C + \frac{8}{3}E_C A_C (n_C^2 - n_C^2) / (1 + \frac{8}{3}n^2) - E_C A_C \Delta T \quad (3)$$

$$H_{hs} = H_S + \frac{8}{3}E_S A_S (n_S^2 - n_S^2) / (1 + \frac{8}{3}n^2) - E_S A_S \Delta T \quad (4)$$

ここで、 n は常時のサゲ比、 n' は載荷時のサゲ比、 ΔT は温度変化、 E は線膨張係数である。

A、B をメインおよびストームロープの支間中央の変位とすると

$$n_C^2 = (f_C + A)^2 / l^2 = (f_C/l)^2 + (2f_C A + A^2) / l^2 \quad (5)$$

$$n_S^2 = (f_S - B)^2 / l^2 = (f_S/l)^2 + (B^2 - 2f_S B) / l^2 \quad (6)$$

さら K. 变形を放物線と仮定し、 $f' = \frac{W_C + W_{hs}}{8H_C} l^2$ 、 $f'' = \frac{W_{hs}}{8H_C} l^2$ とし、表1に示す無次元量を導入すると式(3)、(4) は

$$A = B = f_C (a + b - d + \beta f') / (d + \beta f') \quad (7)$$

$$d = P_1 + K_1 \{(A/f_C)^2 + 2(A/f_C)\} \quad (8)$$

$$\beta = P_2 + K_2 \{(B/f_S)^2 - 2(B/f_S)\} \quad (9)$$

となる。ここで、本解法は、各ロープの水平張力の概算値を得ることを目指す。

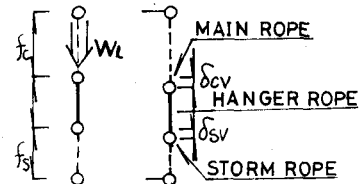


図1 デュアルタイプ吊橋のモデル化

表1 無次元パラメータ

K_1	$\frac{8E_C A_C}{3H_C} \frac{n_C^2}{(1+\frac{8}{3}n^2)}$	K_2	$\frac{8E_S A_S}{3H_S} \frac{n_S^2}{(1+\frac{8}{3}n^2)}$
R	$\frac{K_2}{K_1} \frac{r}{C^2}$	b	f'/f_C
C	f_S/f_C	α	H_S/H_C
B	H_S/H_S	r	H_S/H_C

表2 式(10)、(11)の係数

D_1	$1 - C^2$
D_2	$\frac{3(1+8n^2)}{8} \Delta T / 8 / n_C^2$
D_3	$3(1+8n^2) \Delta T / 8 / n_S^2$
P_1	$1 - K_1 l$
P_2	$1 - K_2 l$
C_1	$P_1 + P_2 C^2 / K_1 + 2C + 2$
C_2	$Y / K_1 - G_2 / K_2$
C_3	$(C_1^2 - 8(1+b)) (C_1 + 1) / (K_1)^2$
C_4	$2P_1 / K_1 - P_2 (3/K_2 + 2C(C_1 + 1)) / K_1$
C_5	$C^2 + 4C^2 Y / K_1 / K_2$
D_1	$P_1 (G_2 + C_1) / G_1 - (G_2 + C_1) \gamma / G_1^2$
D_2	$0.25 K_1 (G_2 / G_1 - (G_2 + C_1) \gamma / G_1^2)$
D_3	$0.5 K_1 ((C_1 + C_2) / G_1 - C_2)$
D_4	$0.5 K_1 (C_2 - C_1)$
G_1	$D_2 + r$
G_2	$D_4 - b$
G_3	$D_3 - r$
G_4	$D_1 D_2$
F_1	$C^2 D_2^2$
F_2	$2G_1 C^2 - C^2 D_2^2 P_1 - K_2 D_2^2 - 2C D_2 K_2$
F_3	$C^2 (2D_2 b + D_2^2) - 2G_1 C^2 D_2 - 2G_1 G_2 - 4C G_2 K_2$
F_4	$2C D_2^2 D_2 K_1 + (2D_2 G_1 - D_2^2 D_2) (G_2 + G_1) / 2 + 2K_1 (D_2 D_2 K_1 + D_2 D_2)$
F_5	$2D_2 D_2 G_1 / 2 + 2D_2 D_2 K_1 / 2 - 2G_1 D_2 D_2 K_1 / 2 + 2G_1 D_2 D_2 + 2K_1 (D_2 D_2 K_1 + D_2 D_2)$
F_6	$D_2^2 D_2^2 - 2G_1 D_2 (P_1 - 2G_1 G_2 G_2 - 2C G_2 (G_2 + G_1) + D_2 D_2)$
F_7	$D_2^2 D_2^2 - 2G_1 D_2 (P_1 - 2G_1 G_2 G_2 - 2C G_2 (G_2 + G_1) + D_2 D_2)$

的とするため $A=B$ なる仮定をもつておきたい。式(7), (8)および(9)より

$$d = D_1 \beta^3 + D_2 \beta^2 + D_3 \beta + D_4 \quad (10)$$

$$F_1 \beta^7 + F_2 \beta^6 + F_3 \beta^5 + F_4 \beta^4 + F_5 \beta^3 + F_6 \beta^2 + F_7 \beta + F_8 = 0 \quad (11)$$

を得る。式(11)より β を求め、それを式(10)に代入することにより α を求め、式(7)より変位が求められる。なお、各式の係数を表2に示す。

3. デュアルタイプ吊橋の力学特性について

デュアルタイプ吊橋の等分布鉛直方向荷重および温度変化に対する性状を明らかにするために、表1に示す各無次元パラメータを変化させた。ここで b は等分布鉛直荷重を $(R+b\alpha)$ で除した値であり、鉛直下向きを正とする。また、 α, β はノイン、ストームロープの載荷時と常時の水平張力比である。また、 $\beta \leq 0$ すなわちストームロープ張力が0となつた時は、メインロープ1本のみ、すなわちフリーケースルの状態で解析している。図2は等分布鉛直荷重の α, β に及ぼす影響について表わしたものである。図より、 b を正の方向に大きくすると α は大きくなり、 β は小さくなることが明らかである。また、剛性が小さいと非線形性が顕著になっており、さらに、 $b=0.7$ あたりで $K_1=10, 20$ の β は0になってしまっている。この場合、メインロープの張力増分は、ストームロープの剛性がなくなるので大きくなる。図3は伸び剛性比の α, β に及ぼす影響について表わしたもので、 R を大きくすると β は低下するが α はあまり変化しない。図4は温度変化の α, β に及ぼす影響を表わしたものである。温度があがれば β は急速に減る傾向にあり、 α にはその傾向はない。また、図より、 β に及ぼす温度変化および鉛直荷重両者の影響の相関は少なく、両者の関係はほぼ線形とみることができる。

4. 実験および大変形解析による検証

2.において述べた略算式の検証は、等分布鉛直荷重についてはモデル実験と文献3)4)の大変形解析により、また、温度変化については大変形解析を用いて行った。実験は図5に示されるモデルを用いており、モデルの細部は文献2)で報告したものと同じである。図6および図7は実験値と理論値を比較したもので、●は実験値、○は大変形解析結果、実線は略算式結果である。図6は等分布鉛直方向載荷によるメインロープおよびストームロープの水平張力の変化を示したものである。この結果より、 b の正負とともに3者はよく一致しているといえる。また図7は温度変化によるメインロープおよびストームロープの水平張力の変化を示したものである。

3. 図より、大変形解析結果と略算式結果とはよく一致している。以上より、この略算式の精度は十分であり、今後キャットウォークおよびデュアルタイプ吊橋等の設計において、

十分実用に供し得るものと期待できる。

図6 実験値による検証

参考文献 1) 渡田ら 長径間キャットウォークの性状

2) 平面ケーブル構造の面外挙動に関する実験的研究

3)4) エネルギー法によるケーブル構造の解析(第1報)(第2報)

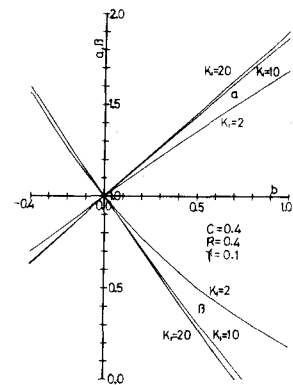


図2 b の α, β に及ぼす影響

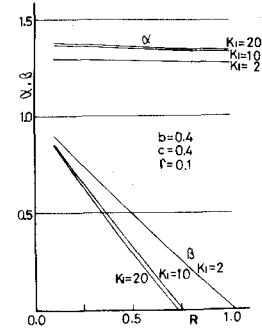


図3 R の α, β に及ぼす影響

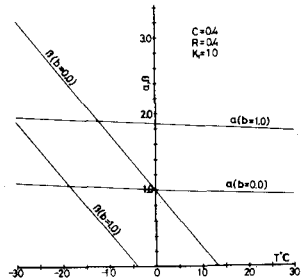


図4 温度変化の α, β に及ぼす影響

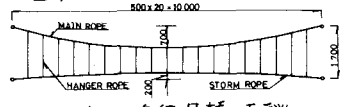


図5 デュアルタイプ吊橋 モデル

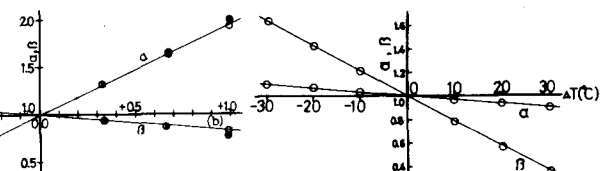


図6 実験値による検証

土木学会

第28回年次学術講演会

西日本支部開催地

第26回, 第27回